

## دراسة سطوم البلورتين $\text{CdSe}$ و $\text{HgSe}$ بواسطة مردود الاصدار الكهربائي PYS

الدكتور عمار صارم\*

(قبل للنشر في 1997/5/3)

الملخص

استخدمت طريقة قياس مردود الاصدار الكهربائي (PYS)، لاختبار الصفات الالكترونية لسطوم البلورتين ( $\text{CdSe}$ ) و ( $\text{HgSe}$ ) المصقوله حديثاً في شروط الخلاء العالي (UHV) تحت الضغط  $T_{\text{OIT}} = 5 \times 10^{-9}$ . وقد تم الحصول على المنحنيات الطيفية (PYS) في الخلاء العالي في مجال الاشعة فوق البنفسجية ( $h\nu > 10 \text{ eV}$ ). وقد لوحظت تغيرات في أطیاف (PYS) مع الزمن في درجة حرارة الغرفة. ووُجد أن التغيرات في موضع حرف قطاع التكافؤ على السطح، والسويات الالكترونية المرتبطة بالسطح كانت واضحة على كلا البلورتين  $\text{CdSe}$  و  $\text{HgSe}$ .

\*مدرس في قسم الفيزياء - كلية العلوم - جامعة تشرين - اللاذقية - سورية.

## Study of HgSe and CDSe surface crystals by means of photoemission yield spectroscopy PYS

Dr.Ammar Sarem\*

(Accepted 3/5/1997)

### ABSTRACT

Photoemission yield spectroscopy (PYS) was used to investigate the electronic properties of the HgSe (110) and CdSe (11 $\bar{2}$ 0)surfaces freshly cleaved in UHV chamber at a pressure of  $5 \times 10^{-9}$  Torr. The spectral photoemission yield curves were obtained in the vacuum-ultraviolet range ( $4 < h\nu < 10$  eV). The changes in the spectra of a (PYS) with time were observed, at room temperature. It found that, the changes of the valence band edge position on the surface, and the surface related electronic states were revealed on both HgSe and CdSe crystals.

---

\*Prof at physic department – faculty of sciences – Tishreen university – Lattakia- Syria.

## ١ - مقدمة (Introduction)

تنتمي البلورتان  $\text{HgSe}$  و  $\text{CdSe}$  إلى عائلة المركبات II-VI. وان صفات هذه البلورات لم تخبر، حتى الآن، بشكل جيد وعمق، كما هي الحال في بلورة السيليكون ( $\text{Si}$ ) والمركبات V-III. وقد تمت تتميمه بلورات من مواد II-VI كطبقات عليا على قاعدة من مواد III-V أو من مواد II-VI، وتطبيقاتها في تقنية الأبار الكوانтиة (quantum wells) وأجهزة الالكترونيات الضوئية (optoelectronic devices)، حيث يتطلب أن تكون البنية البلورية لهذه المواد خالية تماماً من العيوب [1,2,3]. مما جعل اختبار البنية السطحية للبلورات II-VI ضرورياً وهاماً لاستخدامها في مجال صناعة الكواشف والأجهزة الضوئية الأخرى. إن كلا البلورتين المختبرتين هما من نوع الارتباط الكيميائي  $\text{SP}^3$ ، ومع ذلك توجد فروق هامة بينهما:

- البلورة  $\text{HgSe}$  هي نصف ناقل ذو فجوة طاقية معروفة ( $E_g = 0$  eV)، متبلورة في بنية التربتاء (Zinc blende) من النوع المكعب (Cubic).
- البلورة  $\text{CdSe}$  هي نصف ناقل ذو فجوة طاقية عريضة ( $E_g = 1.74$  eV)، متبلورة في بنية فورتسايت (Wurtzite) من النوع السادس (Hexagonal).

إن هذه المميزات والفرق تؤثر بشكل واضح على صفات السطح، على الرغم من أن المركبات المختبرة لها بنية كيميائية متماثلة وسطوحها متربطة (بغض النظر عن البنية البلورية المختلفة).

ان الهدف من هذا البحث هو المساهمة في الاختبارات التجريبية للبنية الالكترونية بالإضافة إلى دراسة عمليات الامتصاص (adsorption) للسطح المصقول للبلورتين  $\text{CdSe}$  و  $\text{HgSe}$ .

## ٢ - الطريقة التجريبية ومردود الاصدار الكهرضوئي Experimental method and photoemission yield spectroscopy

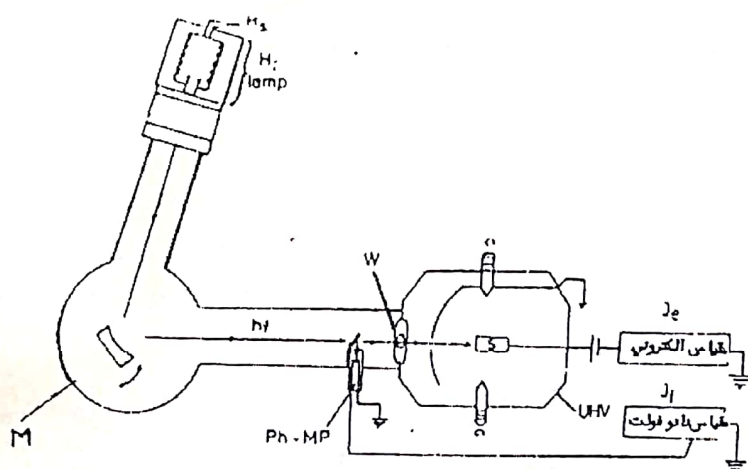
تشكل أطياف مردود الاصدار الكهرضوئي، طريقة مباشرة لاختبار البنية الالكترونية للبلورات. وقد كانت الحساسية العالية والقدرة الجيدة لتحليل سويات الطاقة، من الميزات الرئيسية لهذه الطريقة. لأنها تسمح بالحصول على معطيات دقيقة حول عتبة الاصدار

الكهرضوئي (طاقة التشريد، تابع العمل)، وأيضاً حول الطاقة بقرب العتبة. وقد قيس مردود الاصدار الكهرضوئي بوساطة المطياف الاحادي اللون في الخلاء العالي في مجال الاشعة فوق البنفسجية ( $4 \leq h\nu \leq 12 \text{ eV}$ ).

وتتجدر الاشارة إلى أن قياسات مردود الاصدار الكهرضوئي، قد أنجزت على بلورات نقية أحادية (monocrystals)، مما يؤكد الجودة الفائقة والمطلوبة للعينات المدروسة، حيث حصل عليها بطريقة بريدمان (Bridgman) في معهد الفيزياء في أكاديمية العلوم البولونية. وقد أخذت العينات شكل متوازي مستطيلات أبعاده ( $4 \times 4 \times 12 \text{ mm}^3$ ).

يمثل الشكل (1) مخطط جملة القياس التجريبية، حيث تتالف من قسمين رئيسيين:  
أ- منبع ضوئي (المطياف الاحادي اللون حيث يعمل مع مصباح هيدروجيني تحت ضغط  $P = 10^{-2} \text{ Torr}$ ).

ب- حجرة الخلاء العالي (Ultra High Vacuum- UHV). ويتم الحصول على الخلاء العالي باستخدام نوعين من مضخات التفريغ، حيث نحصل أولاً على الخلاء البدائي ( $P = 10^{-4} \text{ Torr}$ ) بوجود مضختين متتاليتين من نوع زيلوليت (Zeolite)، وثانياً بمساعدة مضخة شاردية (Ionic pump) يتم الحصول على الخلاء العالي ( $P \approx 10^{-9} \text{ Torr}$ ). وقد حصل على السطوح النظيفة من خلال صقل العينات، بمساعدة مقصات يمكن التحكم بها من خارج حجرة الخلاء العالي، حيث يتم القص عمودياً من أجل الحصول على سطح مستوي تكون شدة الحزمة الضوئية الواردة عليه عمودية.



الشكل (1) مخطط الجملة التجريبية لقياس مردود الاصدار الكهرضوئي

M - المطياف احادي اللون، Ph-MP - مضخم ضوئي الكتروني، W - نافذة من بلورة LiF  
UHV - حجرة الخلاء العالي، J<sub>0</sub> - شدة تيار الاصدار الكهرضوئي، J<sub>1</sub> - شدة الاشعاع الوارد على العينة S - العينة

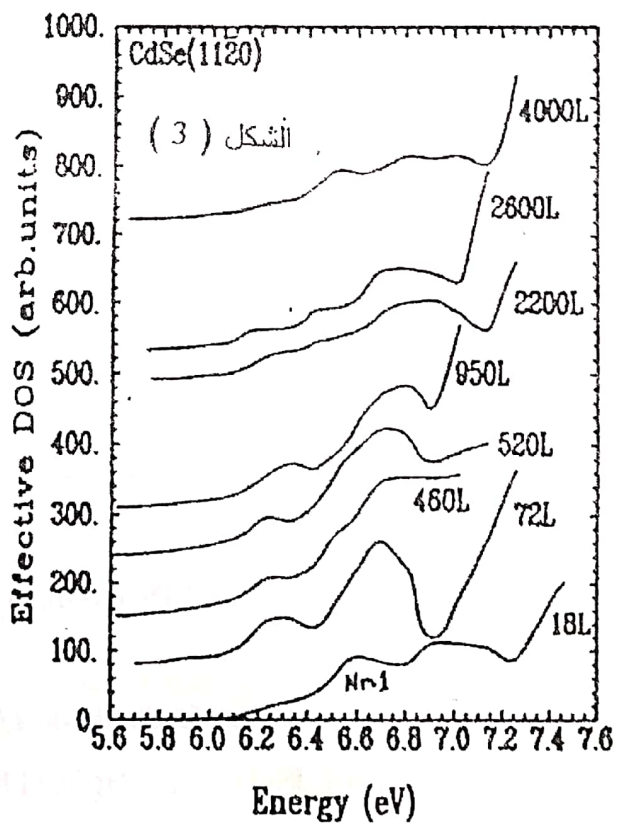
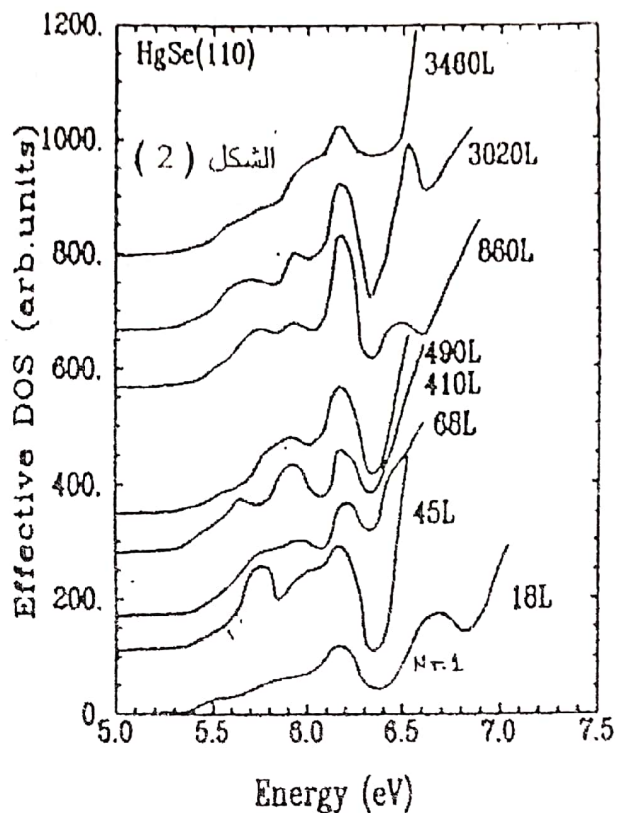
عند خروج الحزمة الضوئية من فتحة المطیاف الاحادي اللون، فإنها تنقسم إلى فسمين بمساعدة صفيحة زجاجية مغطاة بمادة ساليسيلات الصوديوم ( $\text{NaC}_6\text{H}_5\text{O}_3$ ) كمادة متفسّرة تصدر بعد الإثارة اشعاع فوق بنفسجي. يقاس قسم من شدة حزمة الأشعة الضوئية بوساطة المضخم الضوئي الالكتروني (Photomultiplier)، أما القسم الآخر فيرد مباشرة على العينة، حيث تكون العينة متصلة كهربائياً بوساطة سلك نحاسي ومادة فضة مع المقياس الالكتروني (Electrometer). ويسمح المقياس الالكتروني بقياس تيار الالكترونات الصادرة عن البلورة من خلال مجمع،  $A^{15}$  وهذا يطابق اصدار 6250 الكترون بالثانية. إن المقياس الالكتروني يضمن قياس جميع الالكترونات الصادرة عن البلورة.

إن الجهاز التجاري الموضح في الشكل (1)، يسمح لنا بقياس مردود الاصدار الكهربائي من أجل مجال طاقة عريض. وبما أن عملنا في هذا البحث قد خصص لاختبار السويات الالكترونية لمنطقة حرف طاقة التأين، فإن طريقة الوصف قد طبقت على قسم صغير نسبياً من الطيف التجاري (حوالى  $1.5 \text{ eV}$  فوق حرف قطاع التكافؤ).

إن أطياف مردود الاصدار الكهربائي تتالف تجريبياً من المجموع الكلي لتيار الاصدار بدلالة الطاقة ( $h\nu$ )، لذلك فإن عدد الالكترونات المسجلة عند سوية طاقة معينة يحدد بشكل دقيق مساهمة كل الانتقالات من السويات المشغولة من سوية فرمي  $E_F$  إلى سوية  $\varphi$  أسفل  $E_F$  ( $\varphi$  ناتج العمل للعينة). وإذا افترضنا أن عناصر مصفوفة الانتقال (انتقال الالكترون المثار) وتتابع الهروب للالكترونات لا يعتمد على طاقة الضوء، فيمكننا ان نعتبر المشتق الأول لمردود الاصدار الكهربائي بالنسبة للطاقة  $(h\nu/d)^d Y/d$  يساوي الكثافة الفعالة للسويات صحيح. وإن الكثافة الفعالة للسويات هي عبارة عن مجموع كثافة السويات السطحية المحددة من خلال نوع الانتقالات الضوئية و كثافة السويات الحجمية المحددة من خلال الانتقالات الضوئية وعمق هروب الالكترونات من البلورة [2].

### ٣ - النتائج والمناقشة (Results and Discussion)

يمثل الشكلان (2) و (3)، الكثافة الفعالة للسويات في المنطقة القريبة من حرف قطاع التكافؤ من أجل البلورتين،  $\text{HgSe}_{(110)}$  و  $\text{CdSe}_{(11\bar{2}0)}$  على التوالي. وقد تم الحصول على السطح النظيف للبلورتين من خلال صقلهما "in situ" في شروط الخلاء العالي ( $P = 5 \times 10^{-9} \text{ Torr}$ ) ويفصل المنحني (Nr.1) في كلا الشكلين (2) و (3)، الكثافة الفعالة للسويات من السطح النظيف المصقول حديثاً، بينما المنحنيات المتتالية فإنها تخص السطح نفسه ولكنها تخضع



يتمثل الشكلان (2 و 3) الكثافة الفعالة للسوبيات بدلالة الطاقة  $\nu h\nu$  في منطقة حرف طاقة التسرب من أجل البلورتين  $HgSe(110)$  و  $CdSe(11\bar{2}0)$  على التوالي، المصنقولتين حديثاً في شروط الخلاء العالي UHV والخاضعتين للتغير مع الزمن في درجة حرارة الغرفة تحت الضغط  $(P = 5 \times 10^{-9} \text{ Torr})$

لتغير مع الزمن في درجة حرارة الغرفة (annealing)، (توصف عملية التغير مع الزمن باستخدام وحدة الزمن "Langmuir" التي تحدد كمية الذرات التي تصل إلى سطح  $1 \text{ cm}^2$  خلال ثانية واحدة تحت ضغط  $\text{Torr}^{-6}$ ، أي:  $1L = 10^{-6} \text{ Torr.s}$ ) [2, 3].

إن التفاعل مع الوسط المحيط ( $P = 5 \times 10^{-9} \text{ Torr}$ )، هو الظاهره التي سمحت بلاحظة الميزات المرتبطة بالسطح على الطيف التجاري. وقد تبين أن جزيئات  $\text{CO}_2, \text{N}_2, \text{O}_2, \text{H}_2\text{O}, \text{CO}$ ، تحدث على السطح الحقيقي للمركبات II-VI [4]. وهذه المجموعة من الغازات والأبخرة تطابق جيداً الجو المحيط المنخفض في حجرة UHV. ولذلك يمكن ان تتوقع ان ادماصاص هذه الغازات يحصل مع الزمن في درجة حرارة الغرفة للعينة المصقوله تحت الضغط  $\text{Torr}^{-9} = 5 \times 10^{-9} \text{ P}$ . هذه التوقعات بالإضافة إلى البنية الالكترونية لسطوح البلورات، تحدد شكل الأطياف التجاريه المبينة على الشكليين (2) و (3).

فمن أجل البلورة (110)  $\text{HgSe}$ ، فقد لوحظ تغير في شكل الأطياف التجاريه. وقد سمحت هذه التغيرات بتمييز منطقتين مختلفتين بسبب ادماصاص الغازات. المنطقة الأولى وتتألف من أربع قمم ( $6.15 \text{ eV}, 5.95, 5.7 - 5.8, 5.6 - 5.5$ ). وإن ارتفاعات هذه القمم حساسة لحالة السطح ولكن مواضعها كانت ثابتة بشكل تقريبي. في حين، أمكن في المنطقة الثانية ( $6.4 - 7 \text{ eV}$ ) ملاحظة حرف قطاع التكافؤ، وإن موضعه يتغير وفقاً لارتفاع القمم المبينة تماماً فوق الحرف.

هذا التدرج أمكن تمييزه على ثلاثة مراحل: ( $L = 45 - 48$  و  $490L - 68$ ) و ( $3460L - 860$ ). وفقاً لهذه الملاحظات، يمكن أن نستنتج، بأن المجموعة الأولى من السويات مرتبطة مع سطح البلورة. وإن التشابه مع السويات الملاحظة في اختبارات مردود الاصدار الكهربائي لبلورة السيليكون Si [1]، والتواافق مع نتائج ARUPS [5] يدعم هذا الاستنتاج. وإن البنية الغنية لهذا القطاع يمكن ان يرتبط بوجود العيوب على السطح المصقول. وأيضاً عيوب أخرى قادت إلى تشكل سويات الكترونية مع طاقات ارتباط مختلفة. وقد لوحظ هذا من أجل بلورات أخرى [3]. وإن الارتفاع النسبي لهذه القمم يعتمد على حالة السطح الذي يمكن تغييره بادماصاص الغازات.

[3,4]

إن التغيرات التي لوحظت في منطقة حرف قطاع التكافؤ، هي على الارجح نتيجة التغير في الطبقة بالقرب من السطح اكثر منها في السويات السطحية، وإن شدة الاصدار الملاحظة في هذه المنطقة يمكن ان تقارن مع شدة الاصدار نفسها الناتجة عن السويات الحجمية في قطاع التكافؤ.

إن بنية الأطياف المبينة في الشكل (3) لبلورة  $\text{CdSe}(11\bar{2}0)$ ، أضعف من تلك الموجودة في اطياف سطح البلورة (110)  $\text{HgSe}$ . فقد لوحظ، من أجل السطح المصقول حديثاً (المنحنى Nr.1 - الشكل 3)، ان حرف قطاع التكافؤ مع طاقة التأين حوالي ( $7 \text{ eV}$ ) وقطاع السويات

حساسة إلى ادمصاص الغازات (انظر المنحنيات المتتالية في الشكل 3). إن البلورة (CdSe 1120) قد اختبرت بوساطة طرق تجريبية وطرق نظرية [6]. ولم يكشف عن وجود سويات سطحية في فجوة الطاقة المحظورة ( $E_g$ ). ولذلك، فإن القطاع العريض من توزع كثافة السويات الملاحظ في منطقة قطاع الطاقة من 6.1 إلى 7.2 eV (المنحي 1 Nr. 1)، يجب أن يتعلق بشكل رئيسي مع العيوب الناجمة عن السويات السطحية. وإن تأثير الجو المحيط يؤدي بسهولة (من أجل L-72-18) إلى انزياح الطيف نحو طاقات منخفضة. وقد لوحظ أيضاً تغير في الارتفاع النسبي للقمم. إن هذا الانزياح يعتبر ميزة لتشكل طبقة ثانوي الاقطب (Dipole) أكثر منها انحناء القطاع، لأن هذا الاخير لا يمكن ان يؤدي إلى تغير في طاقة ارتباط السويات السطحية. بالإضافة إلى ذلك، فإن ادمصاص الغازات يسبب تغيرات مستقلة في موضع حرف قطاع التكافؤ بالمقارنة مع السويات الاخرى. ففي البلورات ذات الفجوة العريضة، يمكن أن نحصل على انحناء القطاع بتغيير شحنة الارتباط على السطح. وقد لوحظ هذا الانزياح في حرف قطاع التكافؤ، بينما تبقى مواضع السويات السطحية ثابتة. وإن تأثير الادمصاص على قطاع السويات المرتبطة بالسطح يؤكد الصفة المعقدة للقطاع، وإنها مكونة من مشاركات متعلقة على الارجح بعيوب مختلفة تشكلت على السطح. إن التفاعل المديد (prolonged) للجو المحيط يقلل من عدد السويات الملاحظة في التجربة (انظر المنحي الاخير في الشكل 3) ويوازن جزئياً طبقة ثانوي الاقطب (Dipole) المتشكلة في المرحلة الاولى من الادمصاص (قارن المنحنيين الآخرين في الشكل 3).

#### ٤ - الخلاصة

إن قياسات مردود الاصدار الكهربائي (PYS)، تسمح لنا بمشاهدة شكل سطوح البلورات (HgSe 110 و CdSe 1120) المصقوله في شروط الخلاء العالي (UHV). ومن ثم تغير مع الزمن في درجة حرارة الغرفة وتحت الضغط  $Torr \times 10^{-9}$ . وقد كشفت السويات الالكترونية المشغولة على كلا البلورتين HgSe و CdSe. وإن هذه السويات حساسه لادمصاص الغازات على السطوح وقد تشكلت على الارجح من العيوب المتشكلة على السطوح المصقوله. كما لوحظت تغيرات في وضع حرف قطاع التكافؤ على السطح خلال عملية الادمصاص.

نتوقع ان تجارب كثيرة باستخدام تقنيات أخرى، سوف تساعدنا في معرفة أشمل حول الصفات والميزات المختلفة للسطح. لذلك فإن المناقشة المتعلقة بتشكل السويات المرتبطة بالسطح على السطوح المصقوله للبلورات المدروسة سوف تكون اكثراً قابلية للمقارنة مع النتائج المستقبلية.

## المراجع:

---

- 1- C. A. Se'benne, D. Bolmont, G. Guichar and M. Balkanski, Phys. Rev. B Vol 12 Nr. 8, 3280 (1975).
- 2- C. A. Se'benne, II Nuovo Cemento 39 B, 768 (1977).
- 3- I. Andriamanantena, J. P. Lacharme and C. H. Se'benne. J. Vac. Sci. Technol A5 (4), 902, (1987).
- 4- Kirovskaya, Inorg. Mater, 25, 1246 (1989).
- 5- B. A. Orlowski, J. Bonnet, C.Hricovini, R.Pinchaux, Proc. ECOSS-12, Stockholm, Sweden, 1991.
- 6- Y. R. Wang, et all. Surface Science 206 L817 (1988).